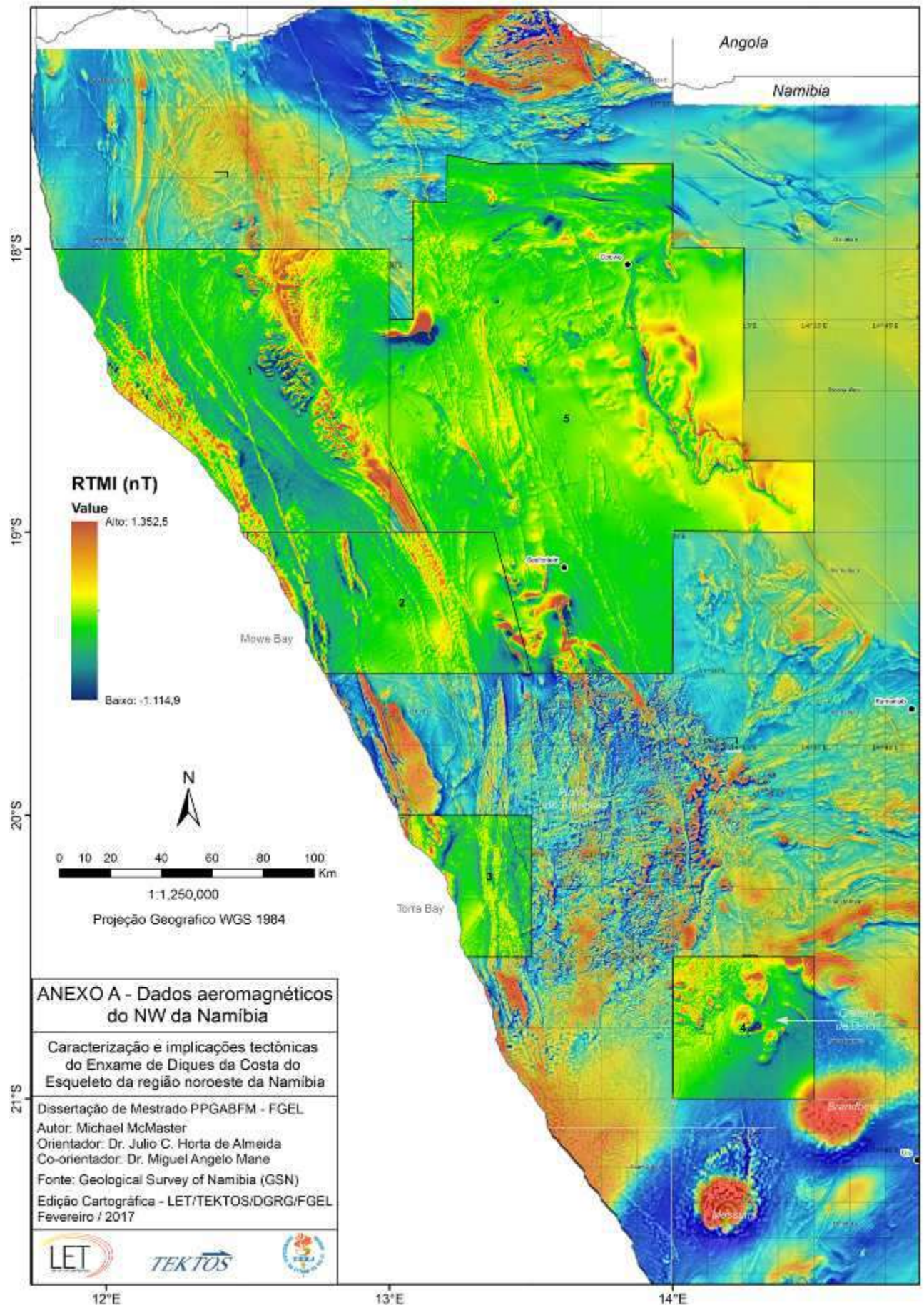
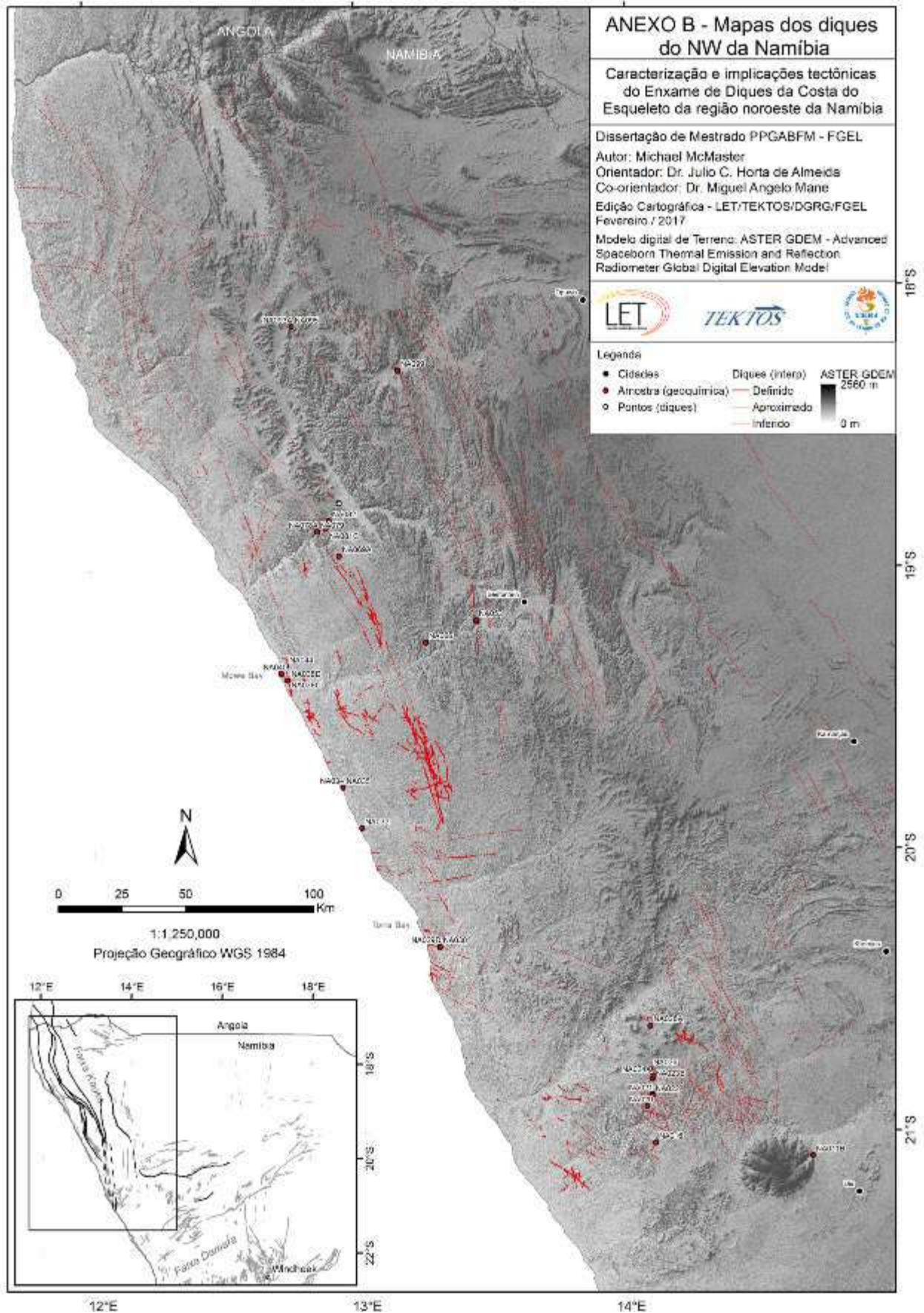


ANEXO A – Dados aeromagnéticas do NW da Namíbia



ANEXO B – Mapas dos diques do NW da Namíbia



ANEXO C – Resultados Geoquímicas

Relatório: A16-03609			Report Date: 24/5/2016											
Coordenados		Símb. do analito	SiO2	Al2O3	Fe2O3(T)	MnO	MgO	CaO	Na2O	K2O	TiO2	P2O5	LOI	Total
Datum: WGS84		Símb. da unidade	%	%	%	%	%	%	%	%	%	%	%	%
Zona: 33K		Limite de detec.	0.01	0.01	0.01	0.001	0.01	0.01	0.01	0.01	0.001	0.01		0.01
mE	mN	Método de anál.	FUS-ICP	FUS-ICP	FUS-ICP	FUS-ICP	FUS-ICP	FUS-ICP	FUS-ICP	FUS-ICP	FUS-ICP	FUS-ICP	FUS-ICP	FUS-ICP
498113	7520302	NA002	47.78	12.67	11.52	0.174	12.42	11.3	1.74	0.45	0.903	0.11	1.58	100.7
467597	7667906	NA011B	64.32	12.85	8.61	0.102	0.67	3.1	2.3	5.11	0.912	0.32	1.89	100.2
405974	7672927	NA016	46.44	13.95	12.11	0.171	10.97	10.28	1.81	0.52	0.954	0.13	1.51	98.84
402741	7687187	NA020	47.13	13.96	12.96	0.178	9.99	11.71	2.12	0.28	1.286	0.13	0.83	100.6
404595	7691802	NA021	49.75	14	11.16	0.167	7.1	11.91	2.53	0.34	1.41	0.13	0.9	99.42
404563	7691369	NA022	46.31	12.31	12.03	0.176	14.64	10.21	1.87	0.25	1.105	0.12	0.73	99.75
404636	7697958	NA023A	48.29	14.33	11.85	0.175	8.6	11.99	2.08	0.22	1.13	0.11	0.78	99.55
404636	7697958	NA023B	45.71	12.26	12.41	0.181	14.42	10.44	1.61	0.09	0.93	0.09	1.34	99.49
405121	7699023	NA024A	40.12	10.4	17.92	0.211	9.65	9.11	4.39	1.02	3.668	1.03	1.94	99.46
403761	7701721	NA026	45.82	14.86	15.29	0.189	8.56	8.95	3.18	0.61	2.149	0.28	-0.05	99.84
403741	7718766	NA028A	48.78	11.84	13.86	0.163	11.52	7.76	2.17	0.56	1.607	0.18	1.84	100.3
321284	7749531	NA029D	52.72	12.97	13.22	0.197	5.62	9.59	2.26	1.1	1.122	0.15	0.74	99.7
321323	7749616	NA030	52	13.38	13.53	0.192	5.78	8.35	2.92	1.54	1.189	0.15	0.81	99.85
290761	7796051	NA032	55.74	13.2	11.94	0.161	4.29	7.73	2.53	1.83	1.344	0.2	0.82	99.79
283381	7812053	NA034	54.54	13.97	12.65	0.192	4.51	8.49	2.95	1.03	1.45	0.19	0.56	100.5
283392	7811938	NA035	54.28	13.12	11.97	0.155	4.35	7.92	2.39	1.95	1.355	0.19	1.21	98.9
261657	7853897	NA038C	53.17	12.15	16.05	0.202	3.58	6.97	3.15	1.54	1.954	0.29	1.29	100.3
261657	7853897	NA038D	50	14.22	11.9	0.175	7.69	12.64	2.09	0.28	0.965	0.12	-0.14	99.95
258992	7856595	NA040	51.78	12.8	14.11	0.211	5.93	10.41	2.45	0.47	1.222	0.14	0.17	99.7

Fonte: O autor, 2017.

Nota: Amostras analisadas pelo Act Labs, 2016.

Coordenados		Símb. do analito	Sc	Be	V	Ba	Sr	Y	Zr	Cr	Co	Ni	Cu	Zn
Datum: WGS84		Símb. da unidade	ppm	ppm	ppm	ppm	ppm	ppm	ppm	ppm	ppm	ppm	ppm	ppm
Zona: 33K		Limite de detec.	1	1	5	2	2	1	2	20	1	20	10	30
mE	mN	Método de anál.	FUS-ICP	FUS-ICP	FUS-ICP	FUS-ICP	FUS-ICP	FUS-ICP	FUS-ICP	FUS-MS	FUS-MS	FUS-MS	FUS-MS	FUS-MS
498113	7520302	NA002	39	< 1	289	114	146	19	64	1290	53	370	100	50
467597	7667906	NA011B	12	4	23	1419	155	72	668	30	8	< 20	20	140
405974	7672927	NA016	36	< 1	275	160	169	19	81	560	54	290	110	60
402741	7687187	NA020	35	< 1	392	45	179	18	68	470	54	230	170	60
404595	7691802	NA021	40	< 1	442	79	211	19	91	200	38	120	200	50
404563	7691369	NA022	34	< 1	328	104	192	15	65	1080	62	530	150	60
404636	7697958	NA023A	37	< 1	346	77	203	16	70	310	48	160	150	60
404636	7697958	NA023B	33	< 1	282	62	180	13	50	950	62	510	120	60
405121	7699023	NA024A	19	4	414	946	1553	26	386	290	64	240	80	150
403761	7701721	NA026	24	1	397	268	490	20	124	170	58	140	40	110
403741	7718766	NA028A	21	< 1	246	217	346	18	102	480	66	580	190	110
321284	7749531	NA029D	42	1	343	163	146	25	106	30	42	50	150	80
321323	7749616	NA030	42	1	336	220	173	26	104	40	44	50	140	140
290761	7796051	NA032	37	2	314	361	199	28	168	30	40	30	40	90
283381	7812053	NA034	37	2	384	340	216	27	147	20	39	40	150	90
283392	7811938	NA035	36	2	370	346	208	28	140	20	40	40	160	90
261657	7853897	NA038C	36	2	486	389	193	34	176	20	42	30	240	120
261657	7853897	NA038D	41	< 1	334	83	182	16	60	260	48	110	130	60
258992	7856595	NA040	46	< 1	409	107	135	25	85	80	48	60	190	90

Fonte: O autor, 2017.

Nota: Amostras analisadas pelo Act Labs, 2016

Coordenados		Símb. do analito	Ga	Ge	As	Rb	Nb	Mo	Ag	In	Sn	Sb	Cs	La
Datum: WGS84		Símb. da unidade	ppm	ppm	ppm	ppm	ppm	ppm	ppm	ppm	ppm	ppm	ppm	ppm
Zona: 33K		Limite de detec.	1	1	5	2	1	2	0.5	0.2	1	0.5	0.5	0.1
mE	mN	Método de anál.	FUS-MS	FUS-MS	FUS-MS	FUS-MS	FUS-MS	FUS-MS	FUS-MS	FUS-MS	FUS-MS	FUS-MS	FUS-MS	FUS-MS
498113	7520302	NA002	14	1	< 5	17	3	7	< 0.5	< 0.2	< 1	< 0.5	1	6.7
467597	7667906	NA011B	25	2	< 5	146	31	3	2.5	< 0.2	2	< 0.5	1.5	90.1
405974	7672927	NA016	15	1	< 5	15	7	< 2	< 0.5	< 0.2	< 1	< 0.5	5.1	9.5
402741	7687187	NA020	17	1	< 5	9	2	< 2	< 0.5	< 0.2	< 1	< 0.5	3.3	4.2
404595	7691802	NA021	19	1	7	5	3	< 2	< 0.5	< 0.2	< 1	< 0.5	7	6.7
404563	7691369	NA022	15	1	< 5	7	5	< 2	< 0.5	< 0.2	< 1	< 0.5	0.6	6.6
404636	7697958	NA023A	17	1	< 5	4	3	< 2	< 0.5	< 0.2	< 1	< 0.5	< 0.5	5.8
404636	7697958	NA023B	15	1	< 5	< 2	3	< 2	< 0.5	< 0.2	< 1	< 0.5	< 0.5	4.3
405121	7699023	NA024A	30	2	< 5	16	58	4	1.3	< 0.2	2	< 0.5	1.7	85.7
403761	7701721	NA026	23	1	< 5	10	8	< 2	< 0.5	< 0.2	< 1	< 0.5	0.7	14.2
403741	7718766	NA028A	20	1	< 5	13	9	< 2	< 0.5	< 0.2	< 1	< 0.5	< 0.5	13.4
321284	7749531	NA029D	18	2	< 5	40	5	< 2	< 0.5	< 0.2	< 1	< 0.5	0.8	12.9
321323	7749616	NA030	19	2	< 5	102	5	< 2	< 0.5	< 0.2	< 1	< 0.5	5.9	13.1
290761	7796051	NA032	21	2	< 5	60	11	< 2	< 0.5	< 0.2	< 1	< 0.5	1	26.7
283381	7812053	NA034	21	2	< 5	98	10	< 2	< 0.5	< 0.2	1	< 0.5	3.7	22.2
283392	7811938	NA035	20	2	< 5	186	10	< 2	< 0.5	< 0.2	1	< 0.5	0.6	21.3
261657	7853897	NA038C	22	2	< 5	82	12	< 2	0.5	< 0.2	2	< 0.5	2.1	25.2
261657	7853897	NA038D	17	2	< 5	7	2	< 2	< 0.5	< 0.2	< 1	< 0.5	< 0.5	5.6
258992	7856595	NA040	19	2	< 5	12	3	< 2	< 0.5	< 0.2	< 1	< 0.5	< 0.5	7.4

Fonte: O autor, 2017.

Nota: Amostras analisadas pelo Act Labs, 2016

Coordenados		Símb. do analito	Ce	Pr	Nd	Sm	Eu	Gd	Tb	Dy	Ho	Er	Tm
Datum: WGS84		Símb. da unidade	Ppm	ppm	ppm	ppm	ppm	ppm	ppm	ppm	ppm	ppm	ppm
Zona: 33K		Limite de detec.	0.1	0.05	0.1	0.1	0.05	0.1	0.1	0.1	0.1	0.1	0.05
mE	mN	Método de anál.	FUS-MS	FUS-MS	FUS-MS	FUS-MS	FUS-MS	FUS-MS	FUS-MS	FUS-MS	FUS-MS	FUS-MS	FUS-MS
498113	7520302	NA002	15.5	2.05	9.3	2.7	0.87	3.1	0.6	3.6	0.7	2.1	0.31
467597	7667906	NA011B	184	21	82.6	16.7	3.34	15.3	2.3	13.9	2.7	7.7	1.13
405974	7672927	NA016	21	2.61	11.8	3.1	1.03	3.7	0.6	4	0.8	2.3	0.36
402741	7687187	NA020	11.4	1.71	8.7	2.8	1.11	3.6	0.6	3.5	0.7	1.9	0.27
404595	7691802	NA021	17	2.47	12.1	3.7	1.3	4.5	0.8	4.7	0.9	2.5	0.35
404563	7691369	NA022	15.8	2.14	10.1	3	1.05	3.4	0.5	3.3	0.6	1.8	0.26
404636	7697958	NA023A	14.1	1.95	9.8	3	1.06	3.5	0.6	3.5	0.7	1.9	0.28
404636	7697958	NA023B	10.8	1.51	7.8	2.2	0.85	2.8	0.4	2.7	0.5	1.4	0.21
405121	7699023	NA024A	180	19.9	76	14.4	4.46	11.6	1.5	7.3	1.1	2.6	0.32
403761	7701721	NA026	34.4	4.42	20.5	5.2	1.83	5.3	0.8	4.8	0.9	2.3	0.31
403741	7718766	NA028A	29.8	3.64	15.8	4	1.48	4.6	0.7	4.1	0.7	2	0.26
321284	7749531	NA029D	28.5	3.48	15	4.1	1.25	4.9	0.8	4.9	1	2.8	0.43
321323	7749616	NA030	28.4	3.43	15.1	4	1.24	4.7	0.8	5.1	1	2.9	0.44
290761	7796051	NA032	56.3	6.55	26.8	6	1.58	6	1	5.9	1.2	3.2	0.47
283381	7812053	NA034	47	5.44	22.3	5.4	1.53	5.7	0.9	5.6	1.1	3.1	0.45
283392	7811938	NA035	45.7	5.29	21.6	5.4	1.57	5.8	0.9	5.5	1.1	3.1	0.45
261657	7853897	NA038C	54.4	6.63	27.7	6.8	1.98	7.3	1.2	7.1	1.4	4	0.58
261657	7853897	NA038D	13.2	1.78	8.9	2.7	0.97	3.3	0.5	3.3	0.7	1.8	0.26
258992	7856595	NA040	17.4	2.36	11.1	3.4	1.28	4.5	0.8	5	1	2.9	0.42

Fonte: O autor, 2017.

Nota: Amostras analisadas pelo Act Labs, 2016

Coordenados		Símb. do analito	Yb	Lu	Hf	Ta	W	Tl	Pb	Bi	Th	U
Datum: WGS84		Símb. da unidade	ppm	ppm	ppm	ppm	ppm	ppm	ppm	ppm	ppm	ppm
Zona: 33K		Limite de detec.	0.1	0.01	0.2	0.1	1	0.1	5	0.4	0.1	0.1
mE	mN	Método de anál.	FUS-MS	FUS-MS	FUS-MS	FUS-MS	FUS-MS	FUS-MS	FUS-MS	FUS-MS	FUS-MS	FUS-MS
498113	7520302	NA002	2	0.3	1.8	0.3	< 1	< 0.1	< 5	< 0.4	1.5	0.5
467597	7667906	NA011B	7.4	1.07	16.8	1.9	< 1	0.3	24	< 0.4	16.9	2.7
405974	7672927	NA016	2.3	0.35	2.3	0.6	< 1	< 0.1	< 5	< 0.4	1.1	0.3
402741	7687187	NA020	1.7	0.25	1.9	0.3	< 1	< 0.1	< 5	< 0.4	0.3	0.1
404595	7691802	NA021	2.2	0.32	2.5	0.3	< 1	< 0.1	< 5	< 0.4	1.1	0.3
404563	7691369	NA022	1.6	0.23	1.8	0.4	< 1	< 0.1	< 5	< 0.4	0.7	0.2
404636	7697958	NA023A	1.7	0.25	1.9	0.2	< 1	< 0.1	< 5	< 0.4	0.8	0.2
404636	7697958	NA023B	1.3	0.2	1.3	0.2	< 1	< 0.1	< 5	< 0.4	0.4	0.1
405121	7699023	NA024A	1.8	0.23	8.7	3.4	< 1	< 0.1	9	< 0.4	7.6	2
403761	7701721	NA026	1.9	0.29	3.3	0.6	< 1	< 0.1	< 5	< 0.4	1	0.3
403741	7718766	NA028A	1.6	0.22	2.7	0.6	< 1	< 0.1	< 5	< 0.4	1.5	0.5
321284	7749531	NA029D	2.8	0.4	2.9	0.5	< 1	< 0.1	< 5	< 0.4	3.2	1
321323	7749616	NA030	2.7	0.42	2.9	0.5	< 1	0.2	5	< 0.4	3.1	1
290761	7796051	NA032	3.1	0.45	4.5	0.8	< 1	0.1	10	< 0.4	6.3	1.2
283381	7812053	NA034	2.9	0.44	3.9	0.7	< 1	0.4	8	< 0.4	5.3	1.4
283392	7811938	NA035	2.9	0.44	3.8	0.7	< 1	0.8	8	< 0.4	5.2	1.3
261657	7853897	NA038C	3.7	0.53	4.8	1	< 1	0.3	9	< 0.4	5.2	1.4
261657	7853897	NA038D	1.7	0.24	1.6	0.2	< 1	< 0.1	< 5	< 0.4	0.8	0.2
258992	7856595	NA040	2.7	0.42	2.4	0.3	< 1	< 0.1	< 5	< 0.4	1.1	0.3

Fonte: O autor, 2017.

Nota: Amostras analisadas pelo Act Labs, 2016

Coordenados		Símb. do analito	SiO2	Al2O3	Fe2O3(T)	MnO	MgO	CaO	Na2O	K2O	TiO2	P2O5	LOI	Total
Datum: WGS84		Símb. da unidade	%	%	%	%	%	%	%	%	%	%	%	%
Zona: 33K		Limite de detec.	0.01	0.01	0.01	0.001	0.01	0.01	0.01	0.01	0.001	0.01		0.01
mE	mN	Método de anál.	FUS-ICP	FUS-ICP	FUS-ICP	FUS-ICP	FUS-ICP	FUS-ICP	FUS-ICP	FUS-ICP	FUS-ICP	FUS-ICP	FUS-ICP	FUS-ICP
261055	7859389	NA044	63.03	12.19	10.02	0.13	2.04	3.87	3.46	3.7	1.207	0.17	0.92	100.7
260886	7859353	NA045D	51.43	15.05	13.52	0.209	4.75	9.79	2.71	0.94	1.454	0.15	0.73	100.7
335262	7877693	NA053	52.53	13.63	13.8	0.182	5.54	9.46	2.44	0.95	1.402	0.16	0.54	100.6
315714	7868930	NA066	51.31	13.48	13.14	0.195	5.97	10.68	2.22	0.51	1.834	0.19	0.46	99.99
281635	7902688	NA069A	52.44	12.71	15.62	0.189	3.97	7.64	2.7	1.34	1.831	0.22	1.08	99.75
273078	7912224	NA078A	52.67	13.26	14.19	0.223	4.4	8.44	2.81	1.39	1.752	0.26	1.18	100.6
273083	7912252	NA079	53.01	13.33	14.45	0.2	4.36	8.06	2.75	1.63	1.81	0.27	0.48	100.3
276473	7913560	NA081C	52.34	13.17	14.41	0.204	4.17	8.12	2.83	1.45	1.747	0.27	0.71	99.41
277792	7916592	NA082	52.12	12.32	15.93	0.22	4.05	8.47	2.7	0.87	1.773	0.21	0.9	99.58
262916	7992568	NA093A	51.31	14.2	12.51	0.14	4.82	8.19	2.67	1.78	3.289	0.44	1.22	100.6
263001	7992600	NA095	47.81	13.55	12.33	0.162	5.68	8.78	2.33	1.24	3.531	0.45	4	99.86
304641	7975532	NA099	54.23	13.78	12.94	0.184	4.96	8.34	2.72	1.56	1.418	0.17	0.39	100.7
559281	7619937	NA110A	44.78	14.34	13.62	0.195	6	10.14	3.06	0.93	1.884	0.42	3.69	99.06
559281	7619937	NA110B	45.12	14.14	14.64	0.175	5.5	9.62	3.46	0.93	2.033	0.5	3.97	100.1
571801	7606029	NA111	67.62	14.34	5.93	0.082	1.41	2.05	2.68	4.47	0.807	0.23	0.62	100.2
571841	7607327	NA113A	71.88	13.54	2.78	0.04	0.5	0.62	2.85	5.48	0.342	0.24	0.59	98.84
571841	7607327	NA113B	70.51	13.91	4.13	0.062	0.84	1.25	2.69	5.11	0.55	0.25	0.76	100.1
578048	7620914	NA114	61.1	12.97	8.39	0.075	0.64	3.97	1.63	5.81	1.566	0.53	3.87	100.5
588248	7635336	NA115	49.19	14.67	15.4	0.225	4.97	9.8	2.63	1	2.144	0.16	0.6	100.8

Fonte: O autor, 2017.

Nota: Amostras analisadas pelo Act Labs, 2016

Coordenados		Símb. do analito	Sc	Be	V	Ba	Sr	Y	Zr	Cr	Co	Ni	Cu	Zn
Datum: WGS84		Símb. da unidade	ppm	ppm	ppm	ppm	ppm	ppm	ppm	ppm	ppm	ppm	ppm	ppm
Zona: 33K		Limite de detec.	1	1	5	2	2	1	2	20	1	20	10	30
mE	mN	Método de anál.	FUS-ICP	FUS-ICP	FUS-ICP	FUS-ICP	FUS-ICP	FUS-ICP	FUS-ICP	FUS-MS	FUS-MS	FUS-MS	FUS-MS	FUS-MS
261055	7859389	NA044	22	3	279	357	148	42	311	< 20	26	< 20	130	110
260886	7859353	NA045D	40	< 1	389	134	169	27	98	70	41	50	190	90
335262	7877693	NA053	40	1	390	262	213	26	121	90	46	60	170	90
315714	7868930	NA066	40	< 1	349	142	282	23	132	120	43	70	160	110
281635	7902688	NA069A	40	1	505	607	199	32	151	< 20	45	40	220	130
273078	7912224	NA078A	35	1	400	446	282	28	191	< 20	41	40	160	120
273083	7912252	NA079	35	1	416	497	281	29	195	< 20	41	40	160	110
276473	7913560	NA081C	33	1	413	446	288	31	178	20	42	40	170	120
277792	7916592	NA082	39	1	502	269	203	31	151	< 20	44	40	210	220
262916	7992568	NA093A	22	2	313	623	698	27	283	80	36	80	150	110
263001	7992600	NA095	24	2	356	610	688	28	292	100	37	90	170	120
304641	7975532	NA099	35	1	380	313	233	23	133	30	40	40	150	100
559281	7619937	NA110A	37	< 1	389	288	331	34	139	60	44	70	320	110
559281	7619937	NA110B	37	1	407	368	281	35	151	50	31	50	10	70
571801	7606029	NA111	11	4	79	770	159	36	258	40	9	< 20	20	80
571841	7607327	NA113A	5	2	21	383	55	35	130	20	4	< 20	10	60
571841	7607327	NA113B	8	3	42	548	108	33	192	20	6	< 20	10	70
578048	7620914	NA114	14	3	19	1634	155	63	499	< 20	7	< 20	< 10	90
588248	7635336	NA115	41	2	804	197	239	26	118	40	45	40	200	120

Fonte: O autor, 2017.

Nota: Amostras analisadas pelo Act Labs, 2016

Coordenados	Símb. do analito	Ga	Ge	As	Rb	Nb	Mo	Ag	In	Sn	Sb	Cs	La
Datum: WGS84	Símb. da unidade	ppm	ppm	ppm	ppm	ppm	ppm	ppm	ppm	ppm	ppm	ppm	ppm
Zona: 33K	Limite de detec.	1	1	5	2	1	2	0.5	0.2	1	0.5	0.5	0.1
mE	mN	Método de anál.	FUS-MS	FUS-MS	FUS-MS	FUS-MS	FUS-MS	FUS-MS	FUS-MS	FUS-MS	FUS-MS	FUS-MS	FUS-MS
261055	7859389	NA044	24	2	< 5	126	25	< 2	1	< 0.2	2	< 0.5	65.6
260886	7859353	NA045D	21	2	< 5	33	4	< 2	< 0.5	< 0.2	< 1	< 0.5	9.8
335262	7877693	NA053	20	2	< 5	28	5	< 2	< 0.5	< 0.2	< 1	< 0.5	15
315714	7868930	NA066	19	2	< 5	30	9	< 2	0.6	< 0.2	1	0.7	14.8
281635	7902688	NA069A	21	2	< 5	46	9	< 2	0.8	< 0.2	2	0.7	19.7
273078	7912224	NA078A	21	2	6	44	17	2	0.9	< 0.2	2	0.7	29.5
273083	7912252	NA079	21	2	< 5	51	18	2	1	< 0.2	2	0.7	31.6
276473	7913560	NA081C	22	2	< 5	45	18	2	< 0.5	< 0.2	2	0.8	30.6
277792	7916592	NA082	21	2	< 5	41	9	< 2	0.5	< 0.2	2	0.7	20.1
262916	7992568	NA093A	23	2	< 5	36	24	< 2	1.1	< 0.2	2	0.7	44.1
263001	7992600	NA095	24	2	< 5	18	26	2	1.3	< 0.2	2	0.7	44.2
304641	7975532	NA099	19	2	< 5	57	10	< 2	< 0.5	< 0.2	2	0.7	21.5
559281	7619937	NA110A	18	2	81	47	38	2	< 0.5	< 0.2	2	1.4	37.5
559281	7619937	NA110B	19	2	38	54	42	4	< 0.5	0.4	13	1	39.8
571801	7606029	NA111	21	2	< 5	211	15	< 2	0.9	< 0.2	4	0.8	53.6
571841	7607327	NA113A	20	2	6	363	10	< 2	< 0.5	< 0.2	11	0.6	27.5
571841	7607327	NA113B	21	2	< 5	303	13	< 2	< 0.5	< 0.2	7	0.7	41.4
578048	7620914	NA114	24	3	8	268	26	35	2.5	1.2	108	1.3	93.9
588248	7635336	NA115	23	2	< 5	34	8	< 2	< 0.5	< 0.2	2	0.6	15.9

Fonte: O autor, 2017.

Nota: Amostras analisadas pelo Act Labs, 2016

Coordenados		Símb. do analito	Ce	Pr	Nd	Sm	Eu	Gd	Tb	Dy	Ho	Er	Tm
Datum: WGS84		Símb. da unidade	ppm	ppm	ppm	ppm	ppm	ppm	ppm	ppm	ppm	ppm	ppm
Zona: 33K		Limite de detec.	0.1	0.05	0.1	0.1	0.05	0.1	0.1	0.1	0.1	0.1	0.05
mE	mN	Método de anál.	FUS-MS	FUS-MS	FUS-MS	FUS-MS	FUS-MS	FUS-MS	FUS-MS	FUS-MS	FUS-MS	FUS-MS	FUS-MS
261055	7859389	NA044	139	15.4	59.8	11.7	1.64	10.1	1.6	9.1	1.7	4.9	0.72
260886	7859353	NA045D	21.9	2.87	13.4	4	1.34	5.2	0.8	5.5	1.1	3.1	0.45
335262	7877693	NA053	33.5	4.08	17.8	4.5	1.39	5.1	0.9	5.5	1.1	3	0.45
315714	7868930	NA066	33	4.24	18.9	4.9	1.72	5.7	0.9	5.7	1.1	3.1	0.45
281635	7902688	NA069A	43	5.39	23.2	6	1.83	6.8	1.2	7.2	1.5	4.1	0.6
273078	7912224	NA078A	61.2	7.31	29	6.6	1.9	6.7	1.1	6.4	1.2	3.6	0.5
273083	7912252	NA079	64.2	7.49	30.2	6.9	1.96	6.9	1.1	6.8	1.3	3.7	0.54
276473	7913560	NA081C	62.3	7.49	30.3	6.7	1.97	7	1.1	6.6	1.3	3.6	0.53
277792	7916592	NA082	43.2	5.42	22.9	6	1.81	6.7	1.1	7.1	1.4	4.1	0.59
262916	7992568	NA093A	93.2	11.4	47.2	10.4	3.26	9.1	1.3	7.1	1.2	3.3	0.43
263001	7992600	NA095	95.4	11.7	48.5	10.8	3.43	9.6	1.4	7.5	1.3	3.3	0.45
304641	7975532	NA099	45.8	5.5	22.5	5.2	1.58	5.5	0.9	5.6	1.1	3.1	0.44
559281	7619937	NA110A	67.1	7.28	28.6	6.6	2.19	7.5	1.2	7.4	1.5	4.3	0.63
559281	7619937	NA110B	71.4	7.86	30.7	7.1	2.18	7.6	1.3	7.7	1.6	4.5	0.64
571801	7606029	NA111	111	12.9	48.4	10.2	1.46	8.8	1.4	7.7	1.5	4.1	0.61
571841	7607327	NA113A	60.7	7.3	27.7	6.5	0.49	6.2	1.1	6.8	1.3	3.8	0.55
571841	7607327	NA113B	87.4	10.2	38.4	8.1	0.98	7.2	1.2	7	1.3	3.7	0.54
578048	7620914	NA114	193	22.3	86.8	17.4	2.88	15.4	2.3	13.6	2.7	7.4	1.06
588248	7635336	NA115	33.9	4.25	18.5	5	1.73	5.5	0.9	5.9	1.1	3.3	0.46

Fonte: O autor, 2017.

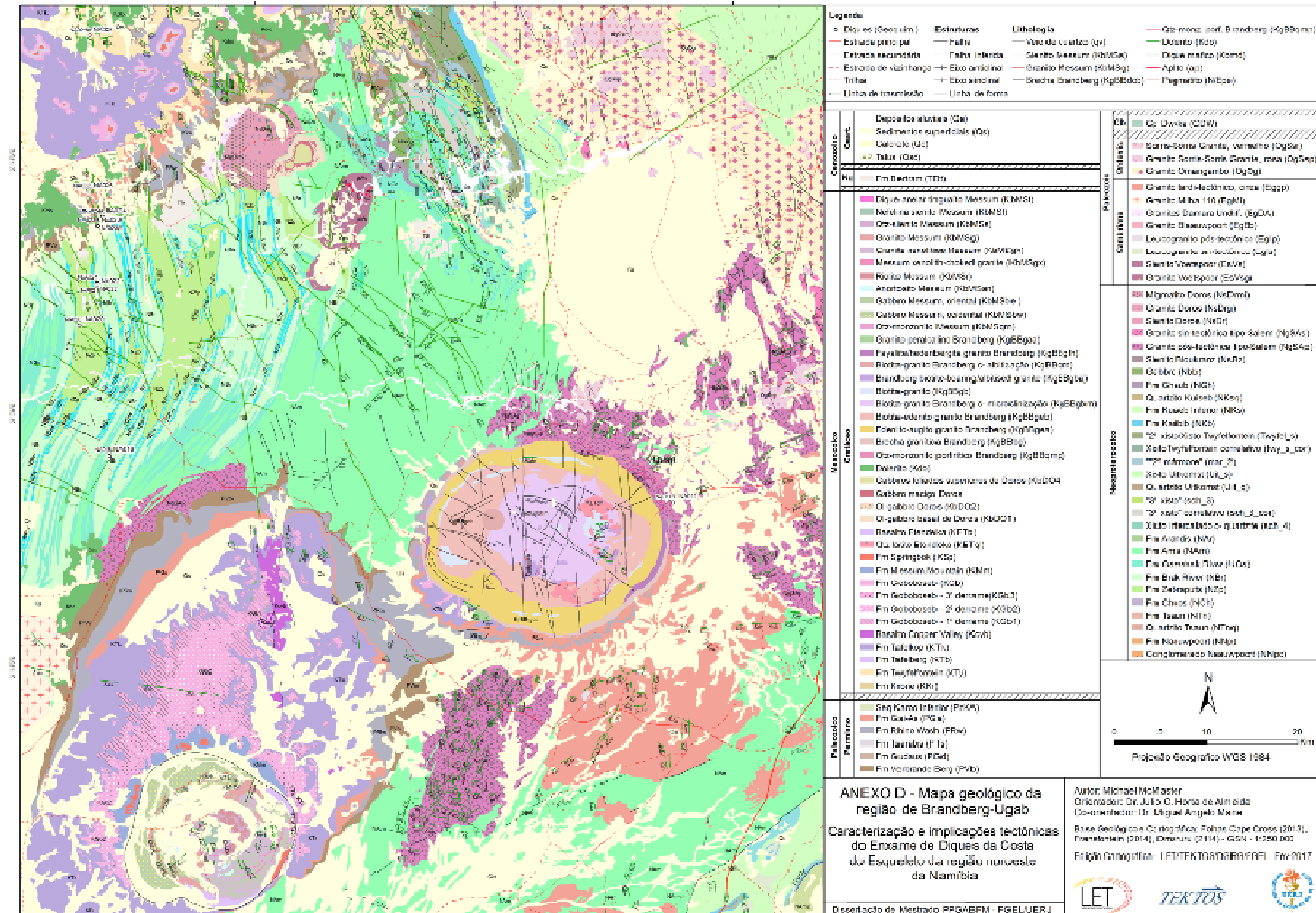
Nota: Amostras analisadas pelo Act Labs, 2016

Coordenados		Símb. do analito	Yb	Lu	Hf	Ta	W	Tl	Pb	Bi	Th	U
Datum: WGS84		Símb. da unidade	ppm	ppm	ppm	ppm	ppm	ppm	ppm	ppm	ppm	ppm
Zona: 33K		Limite de detec.	0.1	0.01	0.2	0.1	1	0.1	5	0.4	0.1	0.1
mE	mN	Método de anál.	FUS-MS	FUS-MS	FUS-MS	FUS-MS	FUS-MS	FUS-MS	FUS-MS	FUS-MS	FUS-MS	FUS-MS
261055	7859389	NA044	4.6	0.66	8.8	1.6	< 1	0.1	16	< 0.4	10.1	1.7
260886	7859353	NA045D	2.9	0.43	2.9	0.4	< 1	< 0.1	< 5	< 0.4	2	0.6
335262	7877693	NA053	2.9	0.42	3.5	0.4	< 1	< 0.1	< 5	< 0.4	3.1	0.6
315714	7868930	NA066	2.9	0.45	3.7	0.7	2	0.1	< 5	< 0.4	1.3	0.3
281635	7902688	NA069A	3.9	0.59	4.1	0.7	3	0.3	7	< 0.4	4.3	1.1
273078	7912224	NA078A	3.1	0.49	4.6	1.2	2	0.3	12	< 0.4	5	1.1
273083	7912252	NA079	3.5	0.51	4.7	1.2	3	0.3	8	< 0.4	5.2	1.1
276473	7913560	NA081C	3.3	0.51	4.9	1.5	2	0.6	8	< 0.4	5.4	1.1
277792	7916592	NA082	3.8	0.57	4	0.7	2	0.2	9	< 0.4	4.2	1.2
262916	7992568	NA093A	2.7	0.35	7.1	1.6	2	< 0.1	7	< 0.4	4.1	0.7
263001	7992600	NA095	2.7	0.37	7.3	1.7	2	< 0.1	7	< 0.4	4.1	0.8
304641	7975532	NA099	2.9	0.42	3.7	0.7	2	0.2	9	< 0.4	4.7	1.4
559281	7619937	NA110A	3.9	0.61	3.6	1.9	3	0.4	< 5	0.5	4.6	1.2
559281	7619937	NA110B	4.3	0.63	4	2	5	0.3	< 5	< 0.4	4.9	1.4
571801	7606029	NA111	3.9	0.57	6.6	1.2	3	1.1	31	< 0.4	21.2	5.3
571841	7607327	NA113A	3.5	0.47	3.5	1.4	4	2.1	28	0.7	15.3	7.9
571841	7607327	NA113B	3.4	0.5	5.1	1.4	3	1.9	30	< 0.4	18.7	7
578048	7620914	NA114	7	1.02	13.4	1.4	3	2.9	14	4.1	21.8	2.8
588248	7635336	NA115	3.1	0.48	3.2	0.6	2	0.7	7	< 0.4	4.2	1.3

Fonte: O autor, 2017.

Nota: Amostras analisadas pelo Act Labs, 2016

ANEXO D – Mapa geológico da região de Brandberg-Ugab



ANEXO D - Mapa geológico da região de Brandberg-Ugab

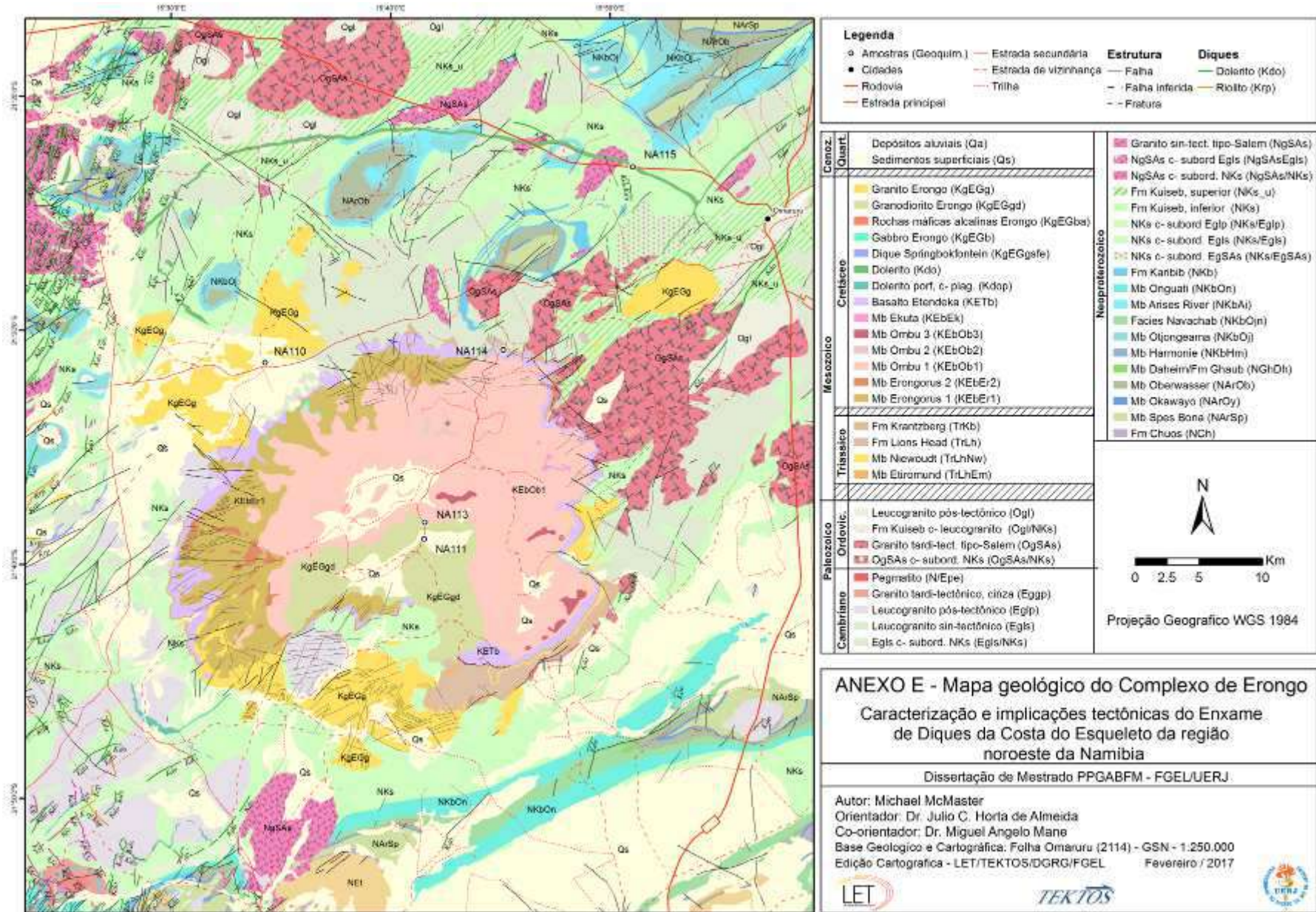
Caracterização e implicações tectónicas do Enxame de Diques da Costa do Esqueleto da região noroeste da Namíbia

Desenho de Mestre PG&EFM - FGELUER.J

Autor: Michael McMaster
Orçador: Dr. Julio G. Horta de Almeida
Co-autor: Dr. Miguel Angelo Nogueira

Bruce Geological Co. (proprietor): Fokker Cape Cross (2013), Focustek (2014), Oceano (2014) - G554 - H350-002
Edição Geológica: LETTEK04030999P00L - Fev 2017

ANEXO E – Mapa geológico do Complexo de Erongo



ANEXO F – Mapa geológico do Rio Hoarusib-Purros

